



DOI:10.13364/j.issn.1672-6510.20140106

## 基于敏感传递函数的分数阶 $PI^\lambda$ 控制器的参数整定

杨征颖, 王德进, 史万祺

(天津科技大学电子信息与自动化学院, 天津 300222)

**摘要:** 讨论一种基于敏感传递函数的分数阶  $PI^\lambda$  控制器的参数整定方法. 根据敏感传递函数的定义, 采用代数方法, 对固定的  $PI^\lambda$  控制器的积分阶次, 在比例增益和积分增益参数平面上, 按敏感传递函数的界进行  $PI^\lambda$  控制器的参数整定. 该敏感传递函数的界与系统的幅值裕度和相角裕度直接相关, 给出了系统相对稳定性的信息. 仿真实例表明, 利用该方法设计的  $PI^\lambda$  控制器具有良好的动态性能和鲁棒性.

**关键词:** 分数阶  $PI^\lambda$  控制器; 敏感传递函数; 参数整定

**中图分类号:** TP273      **文献标志码:** A      **文章编号:** 1672-6510(2015)02-0057-03

## Parameter Tuning of Fractional-order $PI^\lambda$ Controllers Based on Sensitivity Constraint

YANG Zhengying, WANG Dejin, SHI Wanqi

(College of Electronic Information and Automation, Tianjin University of Science & Technology, Tianjin 300222, China)

**Abstract:** This paper discusses the parameter tuning method of fractional-order  $PI^\lambda$  controllers based on sensitivity transfer function constraint. According to the definition of sensitivity transfer function, in the plane of proportional-integral gains of  $PI^\lambda$  controller, for fixed integral-order, the parameters of the controller are tuned by plotting the sensitivity bound obtained via an algebraic derivation. The bound of sensitivity transfer function is directly related to the gain-margin and the phase-margin of the system, which gives the information on the relative stability of the system. Simulation examples prove that the designed  $PI^\lambda$  controller can achieve better dynamic performances and robustness.

**Key words:** fractional-order  $PI^\lambda$  controllers; sensitivity transfer functions; parameter tuning

分数阶控制系统的相关研究近年来受到广泛的关注<sup>[1-2]</sup>, 特别是分数阶PID控制器的研究<sup>[3-5]</sup>具有明显的工程实际意义. 众所周知, 常规(整数阶)PID控制器在工业过程控制领域获得了广泛应用. 采用分数阶PID控制器, 由于增加了设计的自由度, 可以取得比整数阶PID更好的动态性能和对参数变化的鲁棒性. 幅值裕度和相角裕度作为相对稳定性的度量, 在经典控制理论中已进行了大量的讨论. 相角裕度与时域动态性能(超调量)直接相关, 而幅值裕度则反映系统对参数变化的鲁棒性.

本文讨论基于敏感传递函数的分数阶  $PI^\lambda$  控制器的参数整定方法. 该敏感传递函数的界给出了幅值裕度和相角裕度的信息. 通过一种代数方法求解  $PI^\lambda$

控制器的参数, 并用仿真实例进行验证.

### 1 敏感传递函数

考虑图 1 所示 SISO 单位反馈系统, 其中  $G(s)$  为被控对象,  $C(s)$  为控制器,  $R(s)$  为参考输入,  $Y(s)$  为输出,  $E(s)$  为跟踪误差. 敏感传递函数  $S(s)$  定义为

$$S(s) = \frac{E(s)}{R(s)} = \frac{1}{1 + C(s)G(s)} \quad (1)$$

它代表系统对参考输入信号的跟踪精度. 考虑频率特性  $S(j\omega)$  的最大值

$$M_s = \max_{\omega} \left| \frac{1}{1 + C(j\omega)G(j\omega)} \right| \quad (2)$$

收稿日期: 2014-07-11; 修回日期: 2014-09-17

基金项目: 国家自然科学基金资助项目(60874028)

作者简介: 杨征颖(1988—), 女, 河北廊坊人, 硕士研究生; 通信作者: 王德进, 教授, wdejin56@sina.com.

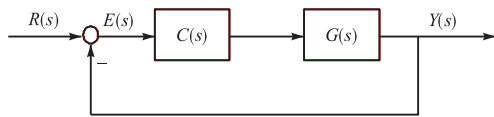


图1 单位反馈系统

Fig.1 Unity feedback system

其物理意义是, 开环 Nyquist 曲线到系统临界稳定点  $(-1, j0)$  的最短距离的倒数, 典型取值范围为  $(1, 2)^{[6]}$ . 进一步, 文献[7]将式(2)的极大化问题转换为在整个频率范围内对敏感传递函数进行约束

$$\left| \frac{1}{1+C(j\omega)G(j\omega)} \right| \leq M, \forall \omega \geq 0 \quad (3)$$

式中  $M > 1$ . 根据这一条件, 当  $M \rightarrow \infty$  时, 式(3)成为闭环特征方程

$$1+C(j\omega)G(j\omega)=0 \quad (4)$$

事实上, 式(3)的敏感传递函数不等式约束与系统的幅值裕度和相角裕度直接相关<sup>[7]</sup>:

$$GM = 20 \lg K + 20 \lg \frac{M}{M-1} \quad (5)$$

$$PM = 2 \arcsin \frac{1}{2M} \quad (6)$$

式中  $K \geq 1$  为系统的开环增益. 因此, 式(3)不等式是对系统鲁棒性的一种比幅值裕度和相角裕度更强的度量, 因为它不只是在 2 个穿越频率(相角穿越频率和幅值穿越频率)处对敏感传递函数进行界定, 而是在所有频率处对其进行约束.

## 2 控制器参数整定

设图 1 中被控对象的传递函数为

$$G(s) = \frac{N(s)}{D(s)} e^{-Ls} \quad (7)$$

式中:  $D(s)$  和  $N(s)$  为整数阶或分数阶多项式;  $L \geq 0$  为时滞因子. 控制器为如下分数阶 PI <sup>$\lambda$</sup>  形式

$$C(s) = k_p + \frac{k_i}{s^\lambda} \quad (8)$$

式中:  $k_p$  和  $k_i$  分别为比例增益和积分增益;  $0 < \lambda < 2$  为积分阶次. 为设计方便, 对式(8)的控制器进行如下变换

$$C(s) = k_p + \frac{k_i}{s^\lambda} = x \left( 1 + \frac{y}{s^\lambda} \right) \quad (9)$$

式中:  $x = k_p$ ;  $y = \frac{k_i}{k_p}$ . 则开环传递函数为

$$L(s) = C(s)G(s) = x \left( 1 + \frac{y}{s^\lambda} \right) G(s) = x [G(s) + yG_1(s)] \quad (10)$$

式中  $G_1(s) = \frac{G(s)}{s^\lambda}$ . 令  $s = j\omega$ , 分解得

$$G(j\omega) = A(\omega) + jB(\omega)$$

$$G_1(j\omega) = A_1(\omega) + jB_1(\omega)$$

代入式(10), 有

$$L(j\omega) = C(j\omega)G(j\omega) = x [G(j\omega) + yG_1(j\omega)] = x(A + yA_1) + j[x(B + yB_1)] \quad (11)$$

由式(3)可得

$$|1+C(j\omega)G(j\omega)|^2 \geq \frac{1}{M^2}$$

定义函数

$$f_1(\omega) = |1+C(j\omega)G(j\omega)|^2 - M_1 \quad (12)$$

式中  $M_1 = 1/M^2$ . 再由式(11),  $f_1(\omega)$  可写为

$$f_1(\omega) = C + 2xD + x^2E \geq 0 \quad (13)$$

其中

$$C = 1 - M_1$$

$$D = A + yA_1$$

$$E = A^2 + B^2 + 2(AA_1 + BB_1)y + (A_1^2 + B_1^2)y^2$$

式(13)定义了一个极值问题, 当在某一频率下, 等号成立时,  $f_1(\omega)$  达到极小值. 由极值条件可得

$$f_2(\omega) = \frac{df_1(\omega)}{d\omega} = 2(xD_1 + x^2E_1) = 0 \quad (14)$$

其中

$$D_1 = \dot{A} + y\dot{A}_1$$

$$E_1 = A\dot{A} + B\dot{B} + (A\dot{A}_1 + \dot{A}A_1 + B\dot{B}_1 + \dot{B}B_1)y + (A_1\dot{A}_1 + B_1\dot{B}_1)y^2$$

联立求解方程组

$$\begin{cases} f_1(\omega) = 0 \\ f_2(\omega) = 0 \end{cases}$$

消去  $x^2$  后, 得到

$$x = \frac{CE_1}{D_1E - 2DE_1} = \frac{C(a_0 + a_1y + a_2y^2)}{b_0 + b_1y + b_2y^2 + b_3y^3} \quad (15)$$

其中

$$a_0 = A\dot{A} + B\dot{B}$$

$$a_1 = A\dot{A}_1 + A_1\dot{A} + B\dot{B}_1 + B_1\dot{B}$$

$$a_2 = A_1\dot{A}_1 + B_1\dot{B}_1$$

$$b_0 = \dot{A}(A^2 + B^2) - 2A(A\dot{A} + B\dot{B})$$

$$b_1 = 2\dot{A}(AA_1 + BB_1) + \dot{A}_1(A^2 + B^2) - 2A(A\dot{A}_1 + A_1\dot{A} + B\dot{B}_1 + B_1\dot{B}) - 2A_1(A\dot{A} + B\dot{B})$$

$$b_2 = \dot{A}(A_1^2 + B_1^2) + 2\dot{A}_1(AA_1 + BB_1) - 2A(A_1\dot{A}_1 +$$

$$B_1\dot{B}_1) - 2A_1(A\dot{A}_1 + A_1\dot{A} + B\dot{B}_1 + B_1\dot{B})$$

$$b_3 = \dot{A}_1(A_1^2 + B_1^2) - 2A_1(A_1\dot{A}_1 + B_1\dot{B}_1)$$

将式(15)代入式(13)中的  $f_1(\omega) = 0$ , 整理得关于参数  $y$  的 6 次方程

$$d_0 + d_1y + d_2y^2 + d_3y^3 + d_4y^4 + d_5y^5 + d_6y^6 = 0 \quad (16)$$

其中

$$d_0 = b_0^2 + 2Aa_0b_0 + Ca_0^2(A^2 + B^2)$$

$$d_1 = 2b_0b_1 + 2(a_0b_1A + a_0b_0A_1 + a_1b_0A) +$$

$$2a_0C[a_0(AA_1 + BB_1) + a_1(A^2 + B^2)]$$

$$d_2 = (b_1^2 + 2b_0b_2) + 2(a_0b_2A + b_1a_1A + Aa_2b_0 +$$

$$a_0b_1A_1 + a_1b_0A_1) + C[a_0^2(A_1^2 + B_1^2) + a_1^2(A^2 + B^2) +$$

$$4a_0a_1(AA_1 + BB_1) + 2a_0a_2(A^2 + B^2)]$$

$$d_3 = 2(b_0b_3 + b_1b_2) + 2(a_0b_3A + a_1b_2A + a_2b_1A + a_0b_2A_1 +$$

$$a_1b_1A_1 + a_2b_0A_1) + C[2a_1^2(AA_1 + BB_1) +$$

$$2a_0a_1(A_1^2 + B_1^2) + 4a_0a_2(AA_1 + BB_1) + 2a_1a_2(A^2 + B^2)]$$

$$d_4 = (b_2^2 + 2b_1b_3) + 2(a_1b_3A + a_2b_2A + a_0b_3A_1 + a_1b_2A_1 +$$

$$a_2b_1A_1) + C[a_1^2(A_1^2 + B_1^2) + a_2^2(A^2 + B^2) +$$

$$2a_0a_2(A_1^2 + B_1^2) + 4a_1a_2(AA_1 + BB_1)]$$

$$d_5 = 2b_2b_3 + 2(a_2b_3A + a_1b_3A + a_2b_2A_1) +$$

$$C[2a_2^2(AA_1 + BB_1) + 2a_1a_2(A_1^2 + B_1^2)]$$

$$d_6 = b_3^2 + 2a_2b_3A_1 + a_2^2C(A_1^2 + B_1^2)$$

可按如下方法求解参数对  $(x, y)$ : 在适当选取的频率  $\omega$  下, 解关于  $y$  的 6 次方程(16), 得出 6 个解, 分别代入式(15), 得相应的  $x$ . 然后, 根据参数变换公式  $k_p = x, k_i = xy$  解得参数对  $(k_p, k_i)$ . 所需要的解应该是落在参数稳定域(令  $M \rightarrow \infty$  可得)内的实数解. 对适当选取的频率范围, 参数对  $(k_p(\omega), k_i(\omega))$  在稳定域内描绘出一条满足敏感传递函数界  $M > 1$  的曲线.

### 3 仿真实例

考虑单容水箱传递函数<sup>[9]</sup>

$$G(s) = \frac{1.6}{120s + 1} e^{-20s}$$

在图 1 所示控制系统中, 采用式(8)给定的分数阶 PI<sup>λ</sup> 控制器, 文献[8]讨论了 PI<sup>λ</sup> 控制器分数阶次  $\lambda$  与  $(k_p, k_i)$  平面上参数稳定域的面积大小之间的关系, 结论是  $\lambda$  越小, 稳定域面积越大. 选取  $\lambda = 0.2$ , 根据前两节的讨论, 选取足够大的  $M$  值, 可得  $(k_p, k_i)$  平面上的参数稳定域, 如图 2 中的虚线所示. 再分别取  $M = 8$  和  $M = 1.46$ , 落在稳定域内的实数解描绘出

的曲线分别如图 2 中两条实线所示. 根据式(5)和式(6),  $M = 1.46$  对应的相角裕度约为  $40^\circ$ , 幅值裕度约为 11 dB. 沿  $M = 1.46$  的曲线取点 A(见图 3), 再在曲线内部取点 B, 分别作阶跃响应, 如图 4 所示. 由于 B 点对应的相角裕度大, 相应的阶跃响应的超调小. 另外, 由于控制器的积分阶次较小 ( $\lambda = 0.2$ ), 阶跃响应存在一定的稳态误差, 可以采用其他方法进行补偿.

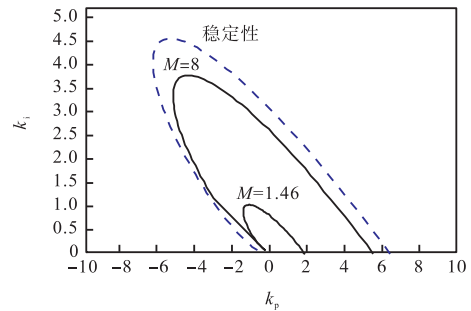


图 2 不同 M 对应的敏感约束

Fig. 2 Sensitivity constraint for different M

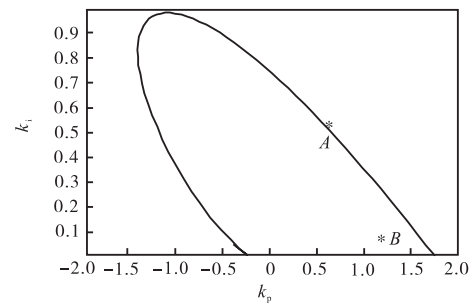


图 3 M = 1.46 对应的敏感约束

Fig. 3 Sensitivity constraint for M = 1.46

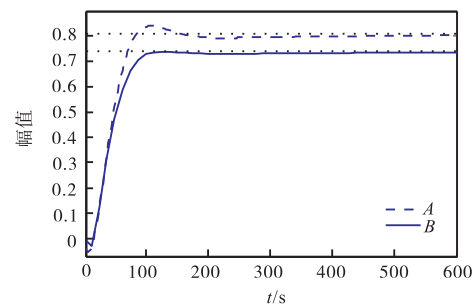


图 4 A、B 两点对应的阶跃响应

Fig. 4 Step responses corresponding to A and B

### 4 结 语

本文给出了一种分数阶 PI<sup>λ</sup> 控制器的图解参数整定方法, 即基于敏感传递函数界的参数整定方法. 该 (下转第 74 页)